

А. А. БЛОК, Б. В. ВАНЮШЕВ, А. М. ВАСИЛЬЕВ,  
 Л. В. ВЫДРИН, И. С. ГИБИН, В. А. ДОМБРОВСКИЙ,  
 Т. Н. МАНТУШ, Б. Н. ПАНКОВ, Е. Ф. ПЕН,  
 П. Е. ТВЕРДОХЛЕБ, А. И. ЧЕРНЫШЕВ

(*Новосибирск*)

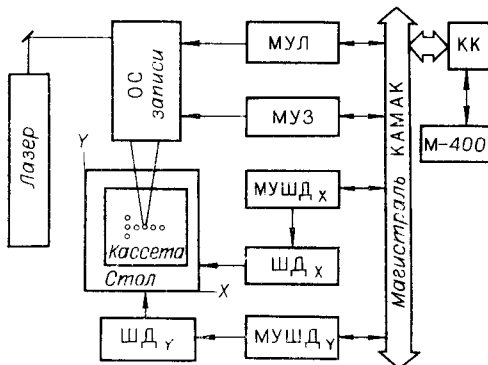
## УСТРОЙСТВО АВТОМАТИЧЕСКОЙ ЗАПИСИ МАТРИЦ ГОЛОГРАММ

В данной статье рассматривается управляемое от ЭВМ М-400 устройство автоматической записи матриц голограмм, являющееся элементом экспериментальной оптико-электронной системы памяти [1].

На рис. 1 показана блок-схема устройства, где ОС записи — оптическая система формирования фурье-голограмм; ШД<sub>X</sub> и ШД<sub>Y</sub> — шаговые двигатели  $X$  и  $Y$ ; МУШД<sub>X</sub> и МУШД<sub>Y</sub> — модули управления шаговыми двигателями  $X$  и  $Y$ ; МУЛ — модуль управления лентопротяжным механизмом для смены фототранспарантов с изображениями страниц двоичной информации; МУЗ — модуль управления фотозатвором; КАМАК — магистраль крейта КАМАК; КК — крейт-контроллер (для связи с ЭВМ М-400); кассета — сменная кассета с фотоматериалом для записи голограмм; стол — стол с двухкоординатным шаговым перемещением кассеты.

Устройство обеспечивает последовательную регистрацию матрицы фурье-голограмм на регистрирующую среду, перемещаемую по двум координатам относительно опорного и сигнальных пучков с помощью управляемых от ЭВМ (или автономно) двух шаговых двигателей. Вначале кассета автоматически выводится на позицию первой голограммы. Затем после остановки двигателей и задержки  $t_3$ , необходимой для гашения вибраций, вызванных работой шаговых двигателей, открывается затвор на время экспозиции  $t_{\text{экз}}$ . При этом сигнальный пучок, прошедший через фототранспарант с изображением страницы двоичной информации и объектив преобразования Фурье, интерферирует в плоскости фотоматериала с опорным пучком. После экспозиции проводится смена фототранспаранта и перемещение кассеты по одной из координат на расстояние, равное шагу между голограммами. Эти операции осуществляются с помощью лентопротяжного механизма и подвижного стола. При записи следующей голограммы все операции повторяются. Конфигурация матрицы голограмм (размерность, величина шага) задается оператором в программе управления записью в начальном диалоге с ЭВМ.

Оптико-механический блок изготовлен на базе серийного микроскопа БМИ и обеспечивает дискретное перемещение кассеты с регистрирующим материалом (применены шаговые двигатели), смену фототранспарантов с изображениями страниц данных и формирование сигнального и опорного пучков. На рис. 2 показаны основные элементы оптико-механического блока: оптическая система 1—16, содержащая светоделитель 2, зеркала 1, 3, 8, 13—15, коллиматор 5—7, фазовую маску 9, объектив преобразования Фурье 10, линзу фокусировки опорного пучка 12, фототранспаранты 16, модуль 11 (рамка с фотопластин-



*Рис. 1.*

кой); механизмы шагового перемещения кассеты 17—22 и протяжки пленки с фототранспарантами. Вращательное движение от шагового двигателя 18 преобразуется в поступательное движение кассеты 17 с помощью двух шестерен 21, 22 с передаточным числом 1:5 и микрорвинта 19 с гайкой 20. Микрорвинт закреплен неподвижно в осевом направлении, и при его вращении движение гайки передается столу через жесткий упор. Возвратное перемещение кассеты осуществляется с помощью пружины. В устройстве использованы шаговые двигатели типа ДШ-0,4А (один оборот — 16 шагов, скорость вращения — 100 шаг/с). Перемещение на расстояние, соответствующее минимальному шагу записи голограмм, осуществляется за 32 шага двигателя. Максимальное поле перемещения кассеты — 55×55 мм, при этом суммарная погрешность позиционирования составляет не более 8 мкм. Для привода лентопротяжного механизма, в качестве которого использован механизм камеры РФК-5, также применены шаговые двигатели. Обеспечено покадровое перемещение пленки со скоростью до 10 кадр/с и погрешностью позиционирования не хуже  $\pm 10$  мкм.

При записи голограмм на различных участках регистрирующей среды сигнальный и опорный пучки своего положения не меняют. Сменные фототранспаранты и перемещаемая среда расположены соответственно в передней и задней фокальных плоскостях объектива преобразования Фурье. В отличие от системы записи [2] фототранспаранты размещаются всегда в одном и том же месте. В этом случае для записи голограмм может быть применен малогабаритный объектив. Достоинствами примененной схемы являются также идентичность несущей частоты интерференционной картины для всех голограмм в матрице, инвариантность восстановленного изображения к сдвигу восстанавливающего пучка\*.

Расчет и выбор параметров элементов оптической системы проводились при следующих исходных данных: размерность «читаемого» подмассива голограмм — 32×32 (определенается размерностью раstra акусто-оптического дефлектора системы считывания [1]); емкость страницы данных и ее геометрические размеры определяются параметрами фотоприемной матрицы, используемой при считывании (число фотоприемных ячеек — 32×32, шаг между ячейками — 250 мкм, размеры фотоприемной ячейки — 100×100 мкм); длина волны излучения лазера — 514,5 нм.

Оптимизация искомых параметров оптической системы проводилась с учетом геометрических и дифракционных ограничений, aberrаций оп-

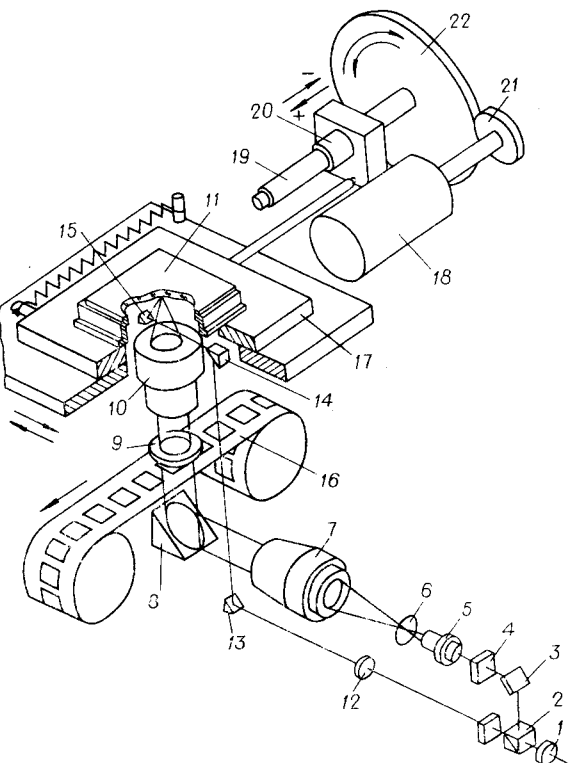


Рис. 2.

\* При правильной настройке оптической системы сигнальный и опорный пучки имеют плоские волновые фронты в плоскости регистрации голограмм.

тики и характеристики восстановленных из голограмм изображений, требуемых для обеспечения достоверного считывания. Выбраны следующие параметры: объектив записи — фотографический объектив «Гелиос-44/2» ( $f = 58$  мм,  $1:2$ ); размер голограммы (определяется диаметром гауссова опорного пучка при записи на уровне  $1/e^2$  по интенсивности) — 340 мкм; расстояние между голограммами — 400 мкм; размер разрядной ячейки в транспаранте данных —  $140 \times 140$  мкм.

Расчет фокусного расстояния линзы опорного пучка и определение требований к ее установке проводились с учетом характера изменения диаметра и радиуса кривизны волнового фронта гауссова пучка в области перетяжки и параметров исходного лазерного пучка [3]. Расчетное значение фокусного расстояния линзы — 700 мм.

Электронный блок управления обеспечивает автоматический (от ЭВМ) и автономный режим работы и содержит выполненные в стандарте КАМАК два идентичных модуля дискретного перемещения каретки (для каждой координаты — один модуль): модуль управления лентопротяжным механизмом и модуль управления фотозатвором.

Модуль перемещения каретки представляет собой распределитель импульсов токов, коммутируемых полупроводниковыми ключами в обмотках шагового двигателя. Функциональная схема модуля приведена на рис. 3. Он снабжен автономным генератором импульсов и счетчиками на 32 и 128 состояний, обеспечивающими (совместно с устройством управления модуля) формирование заданного количества импульсов для отработки двигателем одного минимального шага матрицы голограмм, определение текущей координаты положения каретки и выбор направления вращения двигателя. Определение начального положения по обеим координатам осуществляется концевыми выключателями, а его отработка — специальным режимом работы модуля. В автономном режиме предусмотрено управление от кнопок, однократным нажатием которых обеспечивается установка каретки в положение, соответствующее началу отсчета, или ее перемещение в одном из двух противоположных направлений на один шаг матрицы голограмм. В автоматическом режиме модуль управляется 8-разрядным двоичным кодом. Семь первых разрядов этого кода используются для задания координаты текущего положения каретки (перемещение на произвольное количество шагов матриц голограмм), а восьмой — для установки начала отсчета.

Модуль управления лентопротяжным механизмом обеспечивает протяжку фотопленки с транспарантами и также представляет собой упрощенный вариант распределителя импульсов токов для привода шагового двигателя. Запуск распределителя в автономном режиме проводится от кнопки, а в автоматическом — от ЭВМ через магистраль КАМАК. С каждым пуском лентопротяжного механизма осуществляется протяжка пленки на один кадр. Останов шагового двигателя проводится с помощью концевого выключателя.

Модуль управления фотозатвором обеспечивает задание требуемого времени экспозиции в пределах 10—10240 мс. Время экспозиции может задаваться аппаратно (с клавишного регистра на передней панели модуля) или программно от ЭВМ 10-разрядным двоичным кодом. Дискретность установки — 10 мс. Кроме того, в автономном режиме фотозатвор может быть постоянно открыт. Функциональная схема модуля приведена на рис. 4. Модуль представляет собой счетчик импульсов, поступающих от автономного генератора. Счетчик имеет схемы предустановки, пуска и сброса.

Устройство обеспечивает запись матриц голограмм с максимальным форматом  $128 \times 128$  при шаге записи 400 мкм. В поле модуля (рис. 5) записываемая матрица определяется начальным адресом  $X_0, Y_0$ , числом голограмм по координатам  $X, Y$  и шагом  $a$ . Из любого положения (точки А) сначала выводится в начало координат, а затем позициони-

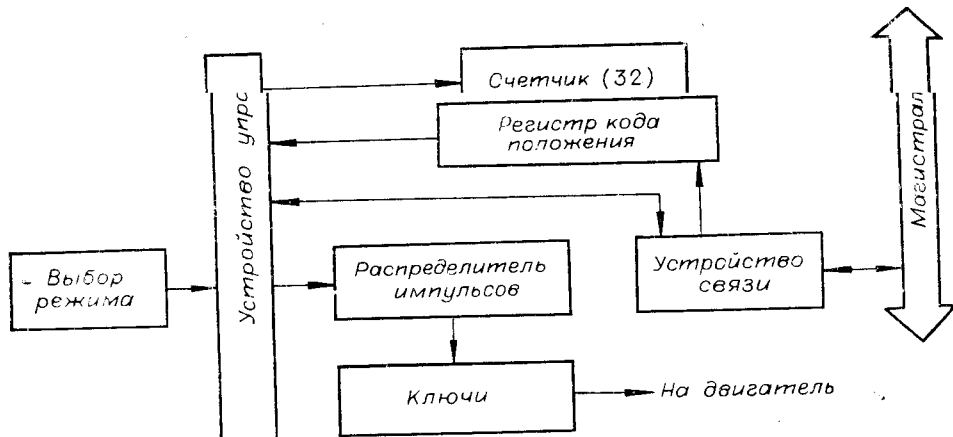


Рис. 3.

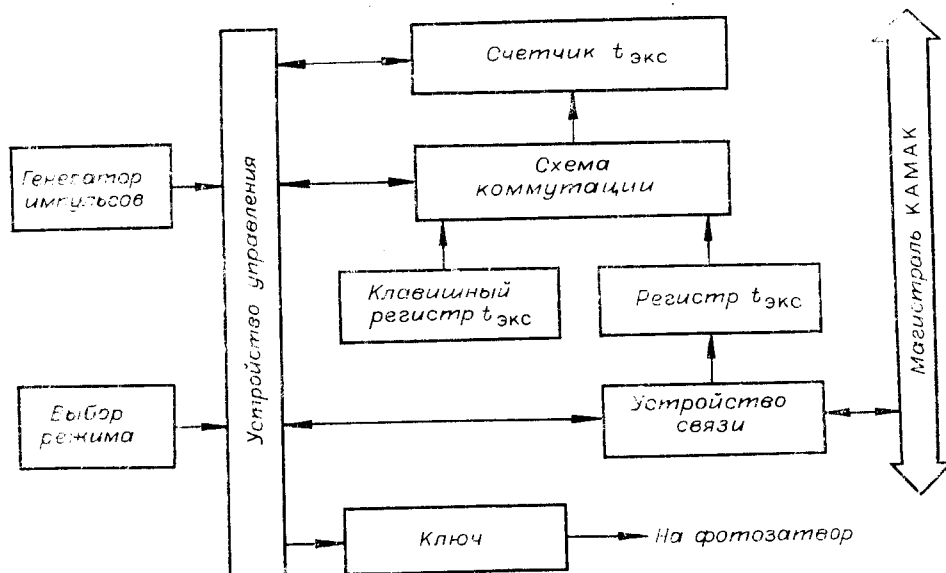


Рис. 4.

руется по текущим координатным адресам, начиная с  $X_0$ ,  $Y_0$  (точка  $B$ ). По координате  $X_m$  направление движения после записи всех голограмм строки изменяется. Запись массива заканчивается в точке  $C$  (характер сканирования показан на рис. 5 стрелками).

Процесс записи может быть прерван в любой момент времени через клавиатуру дисплея. В составе программного обеспечения устройства записи используется интерпретатор БЭЙСИК М-400 и внешняя (для интерпретатора) программа, работающая в реальном времени с модулями электронного блока управления. Программа на языке БЭЙСИК в режиме диалога осуществляет ввод исходных данных, проверяет правильность

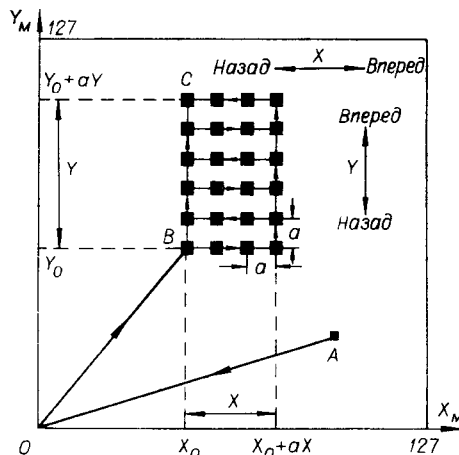


Рис. 5.

ны фототранспаранта, а также временем успокоения вибрирующих элементов устройства и составляет  $\sim 100$  гол./мин.

Запись голограмм проводилась на фотоматериалах НРБ [4], обеспечивающих более высокую дифракционную эффективность голограмм по сравнению с отечественными фотоматериалами типа ЛОИ-2. Соотношение интенсивностей опорного и сигнального пучков составляло 8 : 1, а средняя экспозиция  $\sim 2$  мДж/мм<sup>2</sup> для длины волны  $\lambda = 514,5$  нм. Обработка голограмм проводилась в проявителе ГП-2. В результате обработки образовывалась амплитудно-фазовая голограмма, обладающая существенно различным поглощением света при восстановлении Не-Не ( $\lambda = 632,8$  нм)- или Аг-лазерами ( $\lambda = 514,5$  нм) [5]. Дифракционная эффективность голограмм при восстановлении указанными лазерами отличалась соответственно в 5 раз и составляла в среднем  $\sim 5$  и 1%. Среднее значение отношения сигнал/помеха в восстановленном изображении равно  $\sim 20 : 1$ , а флуктуации интенсивности «1» и «0» соответственно  $\pm 30$  и  $\pm 50\%$ .

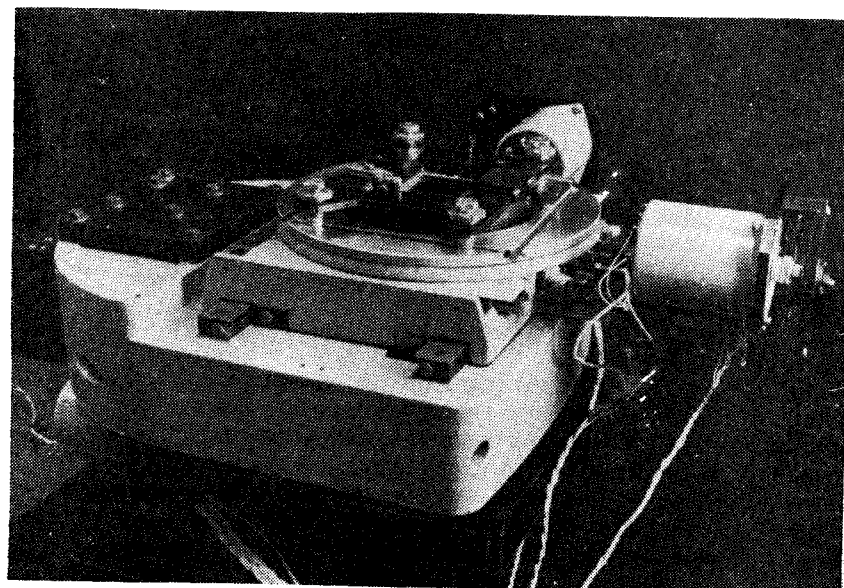


Рис. 6.

ввода и передает внешней программе следующие аргументы: адрес начала матрицы (первой голограммы), число голограмм по координатам, шаг записи, время экспозиции и указатель смены кадра лентопротяжным механизмом.

Внешний вид созданного устройства записи показан на рис. 6. С помощью этого устройства проведена автоматическая запись матриц голограмм размерностью  $32 \times 32$ ,  $64 \times 64$ ,  $128 \times 128$  и др. На рис. 7 показан внешний вид матрицы  $64 \times 64$  голограмм с шагом 800 мкм. Максимальная скорость записи ограничена временами перемещения кассеты и сме-

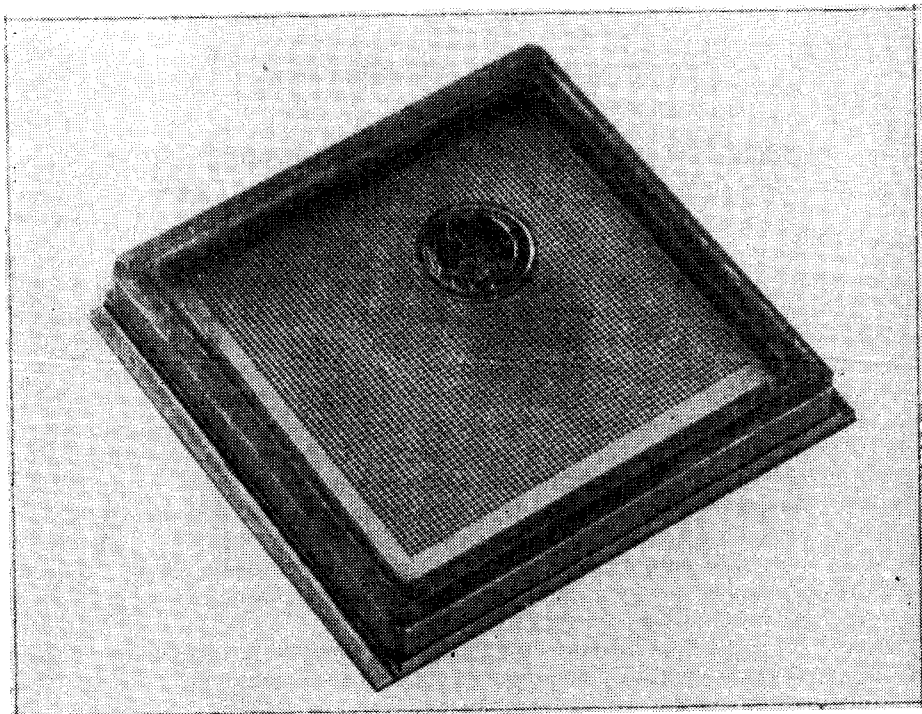


Рис. 7.

Разброс дифракционной эффективности голограмм в матрице  $32 \times 32$  не превышает  $\pm 10\%$ .

Фототранспаранты с исходными изображениями регистрируемых массивов данных изготавливались с помощью управляемого от ЭВМ устройства микрофильмирования «Карат» [6]. В экспериментах были использованы тестовые изображения страниц  $32 \times 32$  бит: «шахматное», «единичное» поля в парафазном коде и некоторые другие.

Запись фурье-голограмм проводилась с использованием случайной фазовой маски, изготовленной методом травления на кварцевом стекле [7].

#### ЛИТЕРАТУРА

1. Выдрин Л. В., Вьюхина Н. Н., Гибин И. С. и др. Экспериментальная оптико-электронная (голографическая) система памяти.— Автометрия, 1980, № 2.
2. Валис А. С., Каушина С. И., Малишаускас М. А. и др. Устройство для записи голограмм на накопитель постоянного голографического запоминающего устройства.— ОМП, 1978, № 11, с. 71.
3. Домбровский В. А., Домбровский С. А., Пен Е. Ф. Влияние параметров гауссового опорного пучка на искажение восстановленных из голограммы изображений.— Опт. и спектр., 1979, т. 45, вып. 5, с. 974.
4. Ковачев Н., Сыйнов В., Матеева Ц. Дифракционная эффективность голограмм на дискретных носителях.— Квант. электроника, 1976, т. 3, вып. 11, с. 2399.
5. Усанов Ю. Е. Влияние состава проявителя на свойства голографического изображения.— В кн.: Регистрирующие среды для голографии. Л., Наука, 1975, с. 98.
6. Устройство микрофильмирования «Карат».— Информационный листок 959-79. Новосибирск, Новосибирский межотраслевой территориальный центр научно-технической информации и пропаганды, 1976.
7. Левин В. Я., Пен Е. Ф., Солдатенков И. С. и др. Изготовление и исследование фазовых масок для устройств хранения и обработки информации.— ОМП, 1978, № 3, с. 43.

Поступила в редакцию 19 сентября 1979 г.